

## Районный тур 2019. 10 класс. Решения.

### Задача 1. I вариант.

Обозначим скорость вылета снаряда из дула  $V$ , а скорость поезда  $u$ .

Когда выстрел произведен неподвижной пушкой, дальность полета  $L$  равна отрезку ПВ на рисунке. По теореме Пифагора  $L = \sqrt{1^2 + 4^2} = \sqrt{17}$  клеток.

С другой стороны, понятно, что  $L = V_{\Gamma}t$ , где  $V_{\Gamma} =$

$V \cos \alpha$  – горизонтальная скорость вылета из дула, а  $t$  – время полета снаряда. Заметим, что время  $t$  зависит только от того, как высоко подлетает снаряд, то есть от его начальной **вертикальной** скорости  $V \sin \alpha$ . Она одинакова при обоих выстрелах, потому что наклон дула к вертикали не меняется, а горизонтальное движение поезда влияет только на горизонтальное движение снаряда.

Итак, время полета снаряда равно  $t$  в обоих случаях. Скорость вылета снаряда при стрельбе из движущегося вагона складывается из  $\vec{V}_{\Gamma}$  (горизонтальная скорость снаряда относительно пушки) и скорости поезда  $\vec{u}$ . При этом в системе отсчета земли снаряд вылетает с горизонтальной скоростью  $\vec{V}_{\Gamma} + \vec{u}$ . За время  $t$  снаряд переместится по горизонтали на  $\vec{V}_{\Gamma}t + \vec{u}t$ . Точка попадания из движущегося поезда – сумма векторов  $\vec{V}_{\Gamma}t$  и  $\vec{u}t$ , причем длина первого вектора равна  $L$ , а  $\vec{u}t$  сонаправлен с  $\vec{u}$  и параллелен рельсам.

Нарисуем окружность радиуса  $L$  с центром в П и прямую  $XX'$ , проходящую через А параллельно рельсам. Тем самым мы представили  $\overrightarrow{PA}$  в виде суммы векторов  $\overrightarrow{PX} + \overrightarrow{XA}$ , удовлетворяющих условиям  $|\overrightarrow{PX}| = L = \sqrt{17}$  клеток,  $\overrightarrow{XA} \parallel \vec{u}$ . То есть мы построили  $\vec{V}_{\Gamma}t$  и  $\vec{u}t$ :

$$|\overrightarrow{PX}| = V_{\Gamma}t = L, \quad |\overrightarrow{XA}| = ut \Rightarrow |\overrightarrow{PX}|/|\overrightarrow{XA}| = V_{\Gamma}/u = V \cos \alpha/u$$

Из рисунка  $|\overrightarrow{PX}|/|\overrightarrow{XA}|$  равно  $\sqrt{17}/2$ , значит,  $V/u = \sqrt{17}/(2 \cos \alpha)$  при  $\alpha = 30^\circ$ . Вариант  $\overrightarrow{PA} = \overrightarrow{PX}' + \overrightarrow{X'A}$  также удовлетворяет условиям задачи, поэтому второй ответ

$$|\overrightarrow{PX}'|/|\overrightarrow{X'A}| = \sqrt{17}/4 = V \cos \alpha/u \Rightarrow V/u = \sqrt{17}/(4 \cos \alpha).$$

Ответ: Скорость вылета снаряда либо в  $\sqrt{17}/3 \approx 2.38$  раз, либо в  $\sqrt{17}/12 \approx 1.19$  раз больше скорости поезда. То ли поезд ужасно быстрый, то ли снаряды еле-еле вылетают...

### Задача 2. I вариант.

На рис. 2 изображены две принципиальные электрические схемы: до аварии (слева) и после аварии (справа). Напряжения, регистрируемые в обоих случаях, измеряются между точками, показанными вольтметрами. Токи, измеренные по условию, показаны стрелками.

Мы обозначили через  $r$  сопротивление проводов между электростанцией и подстанцией; учтено, что между ними тянутся два провода, каждый сопротивлением  $r/2$ . Через  $R_n$  обозначено суммарное сопротивление всех потребителей вместе с подключающими их проводами; по условию  $R_n$  после

аварии не изменилось. Сопротивление упавшей ветки обозначили  $R$ . Также мы учли, что в момент аварии каждый из проводов  $r/2$  был разбит веткой на два неизвестных сопротивления  $r_1/2$  и  $(r - r_1)/2$ .

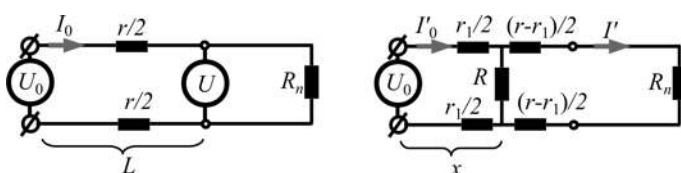


Рис. 2:

Искомое расстояние  $x$  от электростанции до ветки меньше, чем  $L$  во столько же раз, во сколько отличаются соответствующие сопротивления проводов  $r_1/2$  и  $r/2$  (см. рис. 2):

$$\frac{x}{L} = \frac{r_1}{r} \quad \Rightarrow \quad x = \frac{Lr_1}{r}. \quad (1)$$

До аварии напряжение подстанции  $U$  падало на сопротивлении  $R_n$ :

$$U = R_n I_0 \quad \Rightarrow \quad R_n = U/I_0.$$

А напряжение в целой схеме  $U_0$  падало на суммарном сопротивлении  $r + R_n$ :

$$U_0 = I_0(r + R_n) \quad \Rightarrow \quad r + R_n = U_0/I_0. \quad (2)$$

Итак, параметры  $r$  и  $R_n$  исходной схемы нам теперь известны.

После аварии схема изменилась из-за ветки. Рассмотрим электрический контур 1 (см. рис. 3), содержащий  $U_0$ ,  $r_1/2$ ,  $R$  и  $r_1/2$ . Через оба сопротивления  $r_1/2$  идет ток  $I'_0$ , поэтому

$$U_0 = I'_0 r_1 + U_B \quad \Rightarrow \quad U_B = U_0 - I'_0 r_1$$

где  $U_B$  – падение напряжения на упавшей ветке  $R$ . Рассмотрим контур 2. Это же самое напряжение  $U_B$  падает на сопротивлениях  $(r - r_1)/2$ ,  $R_n$  и  $(r - r_1)/2$ , через каждое из которых течет ток  $I'$ :

$$U_B = I'(r - r_1 + R_n).$$

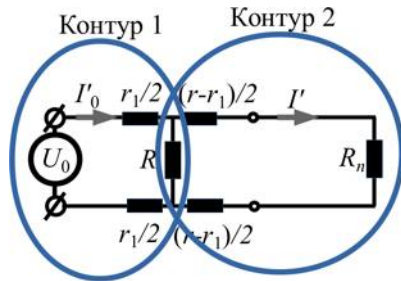


Рис. 3:

Приравнивая полученные выражения для  $U_B$ , получим уравнение на  $r_1$ :

$$U_B = U_0 - I'_0 r_1 = I'(r - r_1 + R_n) \quad \Rightarrow \quad U_0 - I'(r + R_n) = (I'_0 - I')r_1 \quad \Rightarrow \quad r_1 = \frac{U_0 - I'(r + R_n)}{(I'_0 - I')}.$$

Подставляя это в (1), с учетом (2) получим ответ:

$$x = \frac{Lr_1}{r} = L \cdot \frac{U_0 - I'(r + R_n)}{(I'_0 - I')} \cdot \frac{I_0}{U_0 - U} = \frac{U_0 - I'U_0/I_0}{(I'_0 - I')} \frac{I_0 L}{U_0 - U} = \frac{U_0(I_0 - I')L}{(I'_0 - I')(U_0 - U)}. \quad (3)$$

Ответ: расстояние задается формулой (3).

### Задача 3. I вариант.

Обозначим установившуюся температуру  $t_0 + \Delta t$ . Разберемся, какова будет вместимость стакана при этой температуре.

Рассмотрим оловянный стакан при температуре  $t_0$ ; он вмещает объем  $V_0$ . Представим себе, что стакан до краев заполнен оловом. При нагревании олово в стакане будет расширяться синхронно с материалом стакана. Очевидно, при этом олово в любой момент будет аккуратно помещаться в стакан. Это естественно, ведь стакан вместе с оловянным содержимым будет сохранять форму, как целый кусок свинца при расширении. Значит, полость в оловянном стакане *расширяется также, как если бы состояла из олова*. Заметим, что этот факт часто иллюстрируют в школьном курсе физики, демонстрируя, как расширяется отверстие в металлическом кольце, если последнее нагреть.

Итак, при температуре  $t_0 + \Delta t$  оловянный стакан вмещает объем воды  $V_0(1 + \alpha_O \Delta t)$ . Но почему равна масса воды такого объема при этой же температуре? Для этого надо выяснить, как меняется с температурой плотность воды.

Если при  $t_0$  вода имела плотность  $\rho_0$ , некоторый объём  $V'$  и массу  $\rho_0 V'$ , то после нагревания до температуры  $t_0 + \Delta t$  она будет иметь другую плотность  $\rho'$  и объем  $V'(1 + \alpha_B \Delta t)$ , но масса ее от нагревания не изменится:

$$\rho_0 V' = \rho' V'(1 + \alpha_B \Delta t) \quad \Rightarrow \quad \rho' = \frac{\rho_0 V'}{V'(1 + \alpha_B \Delta t)} = \frac{\rho_0}{1 + \alpha_B \Delta t}.$$

Значит, вода в стакане объёма  $V_0(1 + \alpha_O \Delta t)$  при температуре  $t_0 + \Delta t$  будет иметь массу

$$m = \rho' V_0(1 + \alpha_O \Delta t) = \frac{\rho_0 V_0(1 + \alpha_O \Delta t)}{1 + \alpha_B \Delta t}.$$

В результате установления теплового равновесия оловянный материал стакана нагрелся на  $\Delta t$ , а горячая вода остывла на  $t - t_0 - \Delta t$ . Это позволяет записать условие теплового баланса для нашей задачи:

$$C_0 \Delta t = cm(t - t_0 - \Delta t) \quad \Rightarrow \quad C_0 \Delta t = \frac{c \rho_0 V_0(1 + \alpha_O \Delta t)(t - t_0 - \Delta t)}{1 + \alpha_B \Delta t}.$$

Преобразуем:  $(1 + \alpha_B \Delta t) \Delta t = \frac{c \rho_0 V_0}{C_0} (1 + \alpha_O \Delta t)(t - t_0 - \Delta t) \quad \Rightarrow$

$$\Delta t + \alpha_B \Delta t^2 = z(t - t_0 - \Delta t + \alpha_O \Delta t(t - t_0) - \alpha_O \Delta t^2), \quad z \equiv \frac{c \rho_0 V_0}{C_0}.$$

Это квадратное уравнение на  $\Delta t$ :  $(\alpha_B + z \alpha_O) \Delta t^2 + \Delta t(1 + z - \alpha_O z(t - t_0)) - z(t - t_0) = 0$

$$\Rightarrow \Delta t = \frac{-(1 + z - \alpha_O z(t - t_0)) \pm \sqrt{(1 + z - \alpha_O z(t - t_0))^2 + 4(\alpha_B + z \alpha_O)z(t - t_0)}}{2(\alpha_B + z \alpha_O)}.$$

Очевидно, нас интересует положительный корень, так как по условию  $\Delta t > 0$ .

Ответ: в стакане установится температура

$$t_0 + \frac{\sqrt{(1 + z - \alpha_O z(t - t_0))^2 + 4(\alpha_B + z \alpha_O)z(t - t_0)} - (1 + z - \alpha_O z(t - t_0))}{2(\alpha_B + z \alpha_O)}, \quad z \equiv \frac{c \rho_0 V_0}{C_0}.$$

#### Задача 4. I вариант.

Так как трением о лёд можно пренебречь, при перепрыгивании акробата выполняется закон сохранения импульса (ЗСИ) в проекции на горизонтальные оси.

Рассмотрим сначала ЗСИ в проекции на ось  $x$  (см. рис. 4) До прыжка импульс в проекции на эту ось был нулевым, так как акробат вместе с диском ехал перпендикулярно оси  $x$ . После прыжка диск  $2m$  приобрел проекцию скорости  $-u' \sin \alpha$ , а скреплённые диски с акробатом – некоторую скорость  $V_x$ . Здесь важно понимать, что стержень, параллельный оси  $x$ , практически мгновенно уравнивает скорости скрепленных дисков в проекции на эту ось, поэтому скорость  $V_x$  будут иметь сразу после приземления акробата и сам акробат, и оба скреплённых стержнем диска. Итак, ЗСИ имеет вид

$$x : \quad 0 = 3mV_x - 2mu' \sin \alpha \quad \Rightarrow \quad V_x = \frac{2u' \sin \alpha}{3}.$$

Ситуация в проекции на ось  $y$  чуть сложнее. Начальный импульс системы до прыжка был равен  $3mi$ , им обладал акробат  $m$  на диске массой  $2m$ . Сразу после прыжка этот диск приобрел  $y$ -проекцию импульса, равную  $-2mu' \cos \alpha$ . Акробат уравнял свою скорость с диском, на котором стоит (за счет силы трения между ногами и диском), но  $y$ -компоненты скорости скреплённых дисков при этом **вовсе не выравниваются**. Действительно, нет силы, которая

уравняла бы эти  $y$ -компоненты, ведь стержень легкий и ориентирован в этот момент вдоль оси  $x$ , и только вдоль этой оси может действовать на диски.

Поэтому сразу после прыжка только акробат вместе со своим диском имеет некоторую  $y$ -компоненту скорости  $V_y$ , а скорость диска на втором конце стержня будет иметь лишь  $x$ -компоненту. ЗСИ в проекции на ось  $y$  будет иметь вид

$$y : \quad 3mu = 2mV_y - 2mu' \cos \alpha \quad \Rightarrow \quad V_y = \frac{3u + 2u' \cos \alpha}{2}.$$

Итак, после приземления акробата он вместе с конструкцией начинает движение со скоростью  $V_x$ , при этом он вместе со своим диском обладает ещё и скоростью  $V_y$ , которой нет у диска на противоположном конце стержня. Как же будет при этом двигаться конструкция дальше? Вообще говоря, траектория дисков будет достаточно сложной и криволинейной. К счастью, рассмотрев положение центра масс системы, с ней всё-таки можно разобраться.

Центр масс системы скрепленных дисков и акробата расположен в точке  $O$  (рис. 4). Так как на систему не действуют внешние силы, этот центр масс будет равномерно двигаться с постоянной скоростью. Диски же будут вращаться вокруг этого центра масс. Поэтому, перейдя в систему отсчёта центра масс, мы увидим, что траектории дисков в этой системе – окружности.

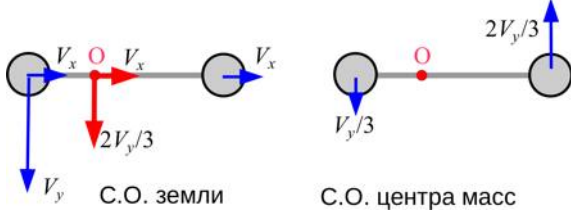
Центр масс системы движется с постоянной скоростью: её проекция на ось  $x$  равна  $V_x$ . Скорость центра масс в проекции на ось  $y$  равна отношению  $y$ -проекции импульса конструкции  $2mV_y$  к массе  $3m$  конструкции, т.е.  $2V_y/3$ .

Изобразим скорости дисков в исходной системе отсчёта и перейдём в систему отсчета центра масс (см. рис. 5). Для перехода в другую систему отсчёта, как всегда, *ко всем скоростям следует добавить один и тот же вектор скорости*. В нашем случае добавляем такой вектор, чтобы центр масс в результате перехода к новой системе отсчёта остановился.

Диски будут вращаться вокруг точки  $O$ , и стержень будет снова сориентирован параллельно оси  $x$ , когда каждый диск пройдёт полокружности, окружность, полуторы окружности и т.д... Пусть диски совершили полуцелое число оборотов, то есть повернулись на угол  $\pi + 2\pi n$  ( $n$  – произвольное целое число). Это произойдет через время

$$t = \frac{\pi(1+2n)L}{V_y} = \frac{2\pi(1+2n)L}{3u + 2u' \cos \alpha}.$$

Рис. 5:



За это время акробат, во-первых, переместится вдоль  $x$  на  $s_* = 2L/3$  за счёт кругового движения вокруг  $O$ ; во-вторых, он переместится вдоль той же оси на  $V_xt$  вместе с центром масс; в третьих, он переместится вдоль оси  $y$  на  $2V_y t/3$  вместе с центром масс. Суммарно его перемещение составит

$$s_n = \sqrt{(s_* + V_xt)^2 + \left(\frac{2V_y t}{3}\right)^2} = \sqrt{\left(\frac{2L}{3} + \frac{2u' \sin \alpha}{3} \frac{2\pi(1+2n)L}{3u + 2u' \cos \alpha}\right)^2 + \frac{4\pi^2(1+2n)^2 L^2}{9}}.$$

В последнем равенстве мы подставили найденные ранее  $V_x$ ,  $V_y$ ,  $s_*$  и  $t$ .

Ну а чтобы стержень повернулся на целое число оборотов,  $2\pi n$ , должно пройти время  $t' = 2\pi nL/V_y$ , а  $s_*$  будет равно нулю, все же остальные рассуждения окажутся прежними, поэтому в этом случае суммарно перемещение акробата составит

$$s'_n = \sqrt{(s_* + V_x t')^2 + \left(\frac{2V_y t'}{3}\right)^2} = \sqrt{\left(\frac{2u' \sin \alpha}{3} \frac{4\pi n L}{3u + 2u' \cos \alpha}\right)^2 + \frac{16\pi^2 n^2 L^2}{9}}.$$

**Ответ:** Стержень много раз будет оказываться параллелен своему первоначальному положению. В эти моменты перемещение акробата составит  $s_n$  и  $s'_n$ , где

$$s_n = L \sqrt{\left(\frac{2}{3} + \frac{4\pi(1+2n)u' \sin \alpha}{9u + 6u' \cos \alpha}\right)^2 + \frac{4(1+2n)^2 \pi^2}{9}}, \quad s'_n = L \sqrt{\left(\frac{8\pi n u' \sin \alpha}{9u + 6u' \cos \alpha}\right)^2 + \frac{16\pi^2 n^2}{9}},$$

$n$  – произвольное целое число. Когда такое произойдет в первый раз, перемещение акробата составит  $s_{n=0}$ .

### Задача 5. I вариант.

Если доска, погружаясь в жидкость, остаётся вертикальной, то изображение лампочки всегда имеет  $x$ -координату, равную  $2a$ . Действительно, чтобы построить изображение лампочки  $L$ , нужно опустить перпендикуляр ЛО от предмета  $L$  на плоскость зеркала и расположить на продолжении ЛО изображение  $L'$  – за зеркалом – так, чтобы  $\text{ЛО}=O\text{Л}'$ . Таким образом, в этом случае график выглядит как на рис. 6.

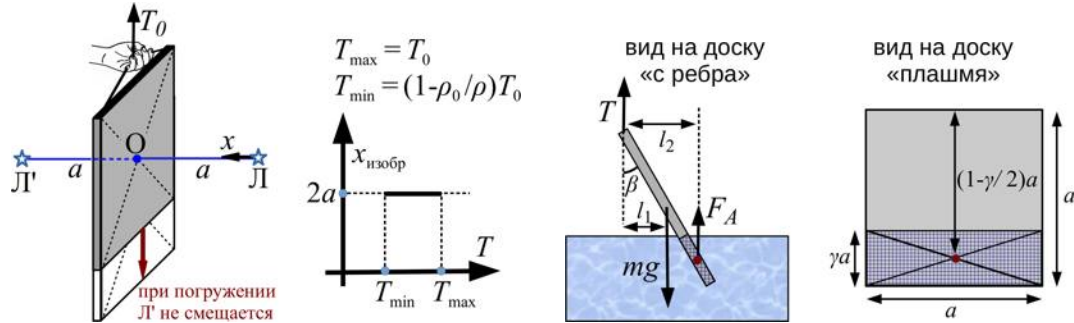


Рис. 6:

Рис. 7:

Интуитивно понятно, что достаточно тяжёлая доска (которая тонет в жидкости) будет погружаться вертикально. Но всегда ли так будет? Предположим, что возможно положение равновесия, представленное на рис. 7, когда доска висит, образуя угол  $\beta$  с вертикалью. Обозначим через  $d$  толщину доски, а через  $\gamma$  – долю длины доски, погруженную в жидкость (так, что на рис. 7 в жидкости находится площадь доски  $\gamma a \cdot a$  и объём  $\gamma a^2 d$ ). Заметим, что  $T_0$  численно равно  $mg$  – силе тяжести доски. Тогда  $T_0$  и силу Архимеда погруженной части доски можно связать с геометрическими размерами и плотностями:

$$mg = T_0 = \rho g a^2 d, \quad F_A = \rho_0 g \gamma a^2 d, \quad \Rightarrow F_A = \frac{\gamma \rho_0 T_0}{\rho}. \quad (4)$$

Если наклонное положение равновесия для доски существует, в нём выполняются два условия: сумма сил, действующих на доску равна нулю  $mg = T + F_A$ , а также правило рычага. Правило рычага можно записать, например, относительно точки подвеса,  $mgl_1 = F_A l_2$ . При этом нужно учесть, что плечо силы  $mg$  равно  $l_1 = (a/2) \sin \beta$ , а плечо силы  $F_A$  равно  $l_2 = a(1 - \gamma/2) \sin \beta$  (см. рис. 7). Эти два условия несложно записать в виде системы

$$\text{Баланс сил: } mg = T + F_A \quad \text{Баланс моментов сил: } T_0 \frac{a \sin \beta}{2} = F_A a \left(1 - \frac{\gamma}{2}\right) \sin \beta.$$

Производя сокращение на  $a \sin \beta$  в последнем равенстве и подставляя (4), получим

$$\text{Баланс сил: } T_0 = T + \frac{\gamma \rho_0 T_0}{\rho} \quad \text{Баланс моментов сил: } \frac{T_0}{2} = \frac{\gamma \rho_0 T_0}{\rho} \left(1 - \frac{\gamma}{2}\right).$$

Из баланса сил можно найти  $T = T_0(1 - \gamma \rho_0 / \rho)$ . Из баланса моментов найдём  $\gamma$ , решая квадратное уравнение:

$$\frac{1}{2} = \frac{\gamma \rho_0}{\rho} \left(1 - \frac{\gamma}{2}\right) \Rightarrow \frac{\rho}{\rho_0} = \gamma(2 - \gamma) \Rightarrow \gamma^2 - 2\gamma + \frac{\rho}{\rho_0} = 0. \Rightarrow \gamma = 1 \pm \sqrt{1 - \frac{\rho}{\rho_0}}.$$

Теперь мы видим, что такое решение существует (выражение под корнем не отрицательно) только в случае, если  $\rho < \rho_0$ , т.е. если доска может плавать в жидкости. Поскольку  $\gamma$  – доля погруженной части доски, должно выполняться неравенство  $0 \leq \gamma \leq 1$ . Поэтому физический корень – только с минусом перед корнем,  $\gamma = \gamma_{kp} = 1 - \sqrt{1 - \rho/\rho_0}$ . Обратите внимание,  $\gamma_{kp}$  фиксировано при заданных плотностях доски и жидкости.

Итак, если  $\rho < \rho_0$ , при вертикальном опускании точки подвеса происходит следующее. Сначала, пока доля погруженной части доски меньше  $\gamma_{kp}$ , доска висит вертикально. Изображение  $L'$  при этом неподвижно. Затем мы продолжаем опускать точку подвеса вниз, но  $\gamma$  перестает меняться, а вместе с ним и сила Архимеда, и сила натяжения  $T$  (см. рис. 8). Изображение при этом постепенно смещается. Чем ниже опускается точка подвеса, тем сильнее отклоняется доска, «стараясь» сохранить объём погруженной части. В некоторый момент договоренность о том, что толщиной доски можно пренебречь, становится неверной — когда  $\beta$  начинает отличаться от  $\pi/2$  так мало, что погруженную часть нельзя считать параллелепипедом. С этого момента величина  $T$  начнёт уменьшаться, и в конце концов достигнет нуля; доска станет свободно плавать.

Получается, что положение  $L'$  меняется только пока доска поворачивается и меняется угол  $\beta$ . При этом постоянна величина  $\gamma = \gamma_{kp}$  и не меняется сила  $T = T_{kp} = T_0(1 - \gamma_{kp}\rho_0/\rho)$ . Когда доска уже практически горизонтальна (при  $\beta \simeq \pi/2$ )  $T$  снова начнет меняться, но  $x$ -координата  $L'$  остается равной нулю. Поэтому требуемый график представлен на рис. 8 справа.

Заметим, что доска могла отклоняться от вертикали и в другую сторону. Однако, это влияет на положение изображения лишь при  $T = T_{kp}$ . Поэтому и в этом случае график остается ступенькой, представленной на рис. 8.

Ответ: при  $\rho \geq \rho_0$   $x$ -координата изображения не меняется и равна  $2a$ , график представлен на рис. 6. При  $\rho < \rho_0$  график представлен на рис. 8, он имеет вид ступеньки. Значению  $T_{kp}$  соответствует целый набор значений координаты изображения,

$$T_{kp} = T_0(1 - \gamma_{kp}\rho_0/\rho), \quad \text{где} \quad \gamma_{kp} = 1 - \sqrt{1 - \rho/\rho_0}.$$

### Задача 1. II вариант.

Обозначим скорость вылета снаряда из дула  $V$ , а скорость поезда  $u$ .

Когда выстрел произведен неподвижной пушкой, дальность полета  $L$  равна отрезку ПВ на рисунке. По теореме Пифагора  $L = \sqrt{1^2 + 4^2} = \sqrt{17}$  клеток.

С другой стороны, понятно, что  $L = V_G t$ , где  $V_G = V \cos \alpha$  – горизонтальная скорость вылета из дула, а  $t$  – время полета снаряда. Заметим, что время  $t$  зависит только от того, как высоко подлетает снаряд, то есть от его начальной **вертикальной** скорости  $V \sin \alpha$ . Она одинакова при обоих выстрелах, потому что наклон дула к вертике не меняется, а горизонтальное движение поезда влияет только на горизонтальное движение снаряда.

Итак, время полета снаряда равно  $t$  в обоих случаях. Скорость вылета снаряда при стрельбе из движущегося вагона складывается из  $\vec{V}_G$  (горизонтальная скорость снаряда относительно пушки) и скорости поезда  $\vec{u}$ . При этом в системе отсчета земли снаряд вылетает с горизонтальной скоростью  $\vec{V}_G + \vec{u}$ . За время  $t$  снаряд переместится по горизонтали на  $\vec{V}_G t + \vec{u}t$ . Точка попадания из движущегося поезда – сумма векторов  $\vec{V}_G t$  и  $\vec{u}t$ , причем длина первого вектора равна  $L$ , а  $\vec{u}t$  сонаправлен с  $\vec{u}$  и параллелен рельсам.

Нарисуем окружность радиуса  $L$  с центром в П и прямую  $XX'$ , проходящую через А параллельно рельсам. Тем самым мы представили  $\overrightarrow{PA}$  в виде суммы векторов  $\overrightarrow{PX} + \overrightarrow{XA}$ , удовлетворяющих условиям  $|PX| = L = \sqrt{17}$  клеток,  $\overrightarrow{XA} \parallel \vec{u}$ . То есть мы построили  $\vec{V}_G t$  и  $\vec{u}t$ :

$$|PX| = V_G t = L, \quad |XA| = ut \quad \Rightarrow \quad |PX|/|XA| = V_G/u = V \cos \alpha/u$$

Из рисунка  $|PX|/|XA|$  равно  $\sqrt{17}/2$ , значит,  $V/u = \sqrt{17}/(2 \cos \alpha)$  при  $\alpha = 60^\circ$ . Вариант  $\overrightarrow{PA} = \overrightarrow{PX}' + \overrightarrow{X'A}$  также удовлетворяет условиям задачи, поэтому второй ответ

$$|PX'|/|X'A| = \sqrt{17}/4 = V \cos \alpha/u \quad \Rightarrow \quad V/u = \sqrt{17}/(4 \cos \alpha).$$

Ответ: Скорость вылета снаряда либо в  $\sqrt{17} \approx 4.12$  раз, либо в  $\sqrt{17}/2 \approx 2.06$  раз больше скорости поезда. То ли поезд ужасно быстрый, то ли снаряды еле-еле вылетают...

### Задача 2. II вариант.

На рис. 10 изображены две принципиальные электрические схемы: до аварии (слева) и после аварии (справа). Напряжения, регистрируемые в обоих случаях, измеряются между точками, показанными вольтметрами. Токи, измеренные по условию, показаны стрелками.

Мы обозначили через  $r$  сопротивление проводов между электростанцией и подстанцией; учтено, что между ними тянутся два провода, каждый сопротивлением  $r/2$ . Через  $R_n$  обозначено суммарное сопротивление всех потребителей вместе с подключающими их проводами; по условию  $R_n$  после аварии не изменилось. Сопротивление упавшей ветки обозначили  $R$ . Также мы учли, что в момент аварии каждый из проводов  $r/2$  был разбит веткой на два неизвестных сопротивления  $r_1/2$  и  $(r - r_1)/2$ .

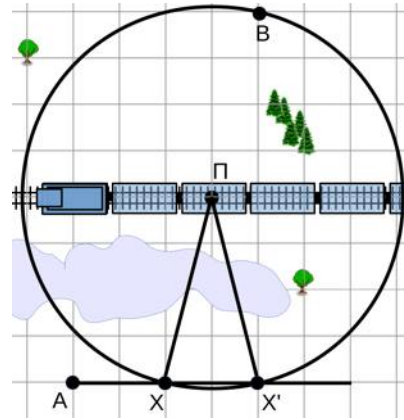


Рис. 9:

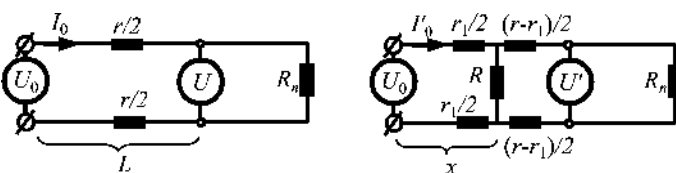


Рис. 10:

Искомое расстояние  $x$  от электростанции до ветки меньше, чем  $L$  во столько же раз, во сколько отличаются соответствующие сопротивления проводов  $r_1/2$  и  $r/2$  (см. рис. 10):

$$\frac{x}{L} = \frac{r_1}{r} \quad \Rightarrow \quad x = \frac{Lr_1}{r}. \quad (5)$$

До аварии напряжение подстанции  $U$  падало на сопротивлении  $R_n$ :

$$U = R_n I_0 \quad \Rightarrow \quad R_n = U/I_0.$$

А напряжение в целой схеме  $U_0$  падало на суммарном сопротивлении  $r + R_n$ :

$$U_0 = I_0(r + R_n) \quad \Rightarrow \quad r + R_n = U_0/I_0. \quad (6)$$

Итак, параметры  $r$  и  $R_n$  исходной схемы нам теперь известны.

После аварии схема изменилась из-за ветки. Рассмотрим электрический контур 1 (см. рис. 11), содержащий  $U_0$ ,  $r_1/2$ ,  $R$  и  $r_1/2$ . Через оба сопротивления  $r_1/2$  идет ток  $I'_0$ , поэтому

$$U_0 = I'_0 r_1 + U_B \quad \Rightarrow \quad U_B = U_0 - I'_0 r_1$$

где  $U_B$  – падение напряжения на упавшей ветке  $R$ . Рассмотрим контур 2. Это же самое напряжение  $U_B$  падает на сопротивлениях  $(r - r_1)/2$ ,  $R_n$  и  $(r - r_1)/2$ , через каждое из которых течет ток  $I' = U'/R_n$ :

$$U_B = I'(r - r_1 + R_n), \quad \text{где } I' = \frac{U'}{R_n} = \frac{U'I_0}{U}.$$

Приравнивая полученные выражения для  $U_B$ , получим уравнение на  $r_1$ :

$$U_0 - I'_0 r_1 = \frac{U'I_0(r - r_1 + R_n)}{U} \quad \Rightarrow \quad r_1 = \frac{UU_0 - I_0 U'(r + R_n)}{(UI'_0 - U'I_0)}.$$

Подставляя это в (5), с учетом (6) получим ответ:

$$x = \frac{Lr_1}{r} = L \cdot \frac{UU_0 - I_0 U'(r + R_n)}{(UI'_0 - U'I_0)} \cdot \frac{I_0}{U_0 - U} = \frac{U_0(U - U')I_0 L}{(UI'_0 - U'I_0)(U_0 - U)}. \quad (7)$$

Ответ: расстояние задается формулой (7).

### Задача 3. II вариант.

Обозначим установившуюся температуру  $t_0 + \Delta t$ . Разберемся, какова будет вместимость стакана при этой температуре.

Рассмотрим оловянный стакан при температуре  $t_0$ ; он вмещает объем  $V_0$ . Представим себе, что стакан до краев заполнен оловом. При нагревании олово в стакане будет расширяться синхронно с материалом стакана. Очевидно, при этом олово в любой момент будет аккуратно помещаться в стакан. Это естественно, ведь стакан вместе с оловянным содержимым будет сохранять форму, как целый кусок свинца при расширении. Значит, полость в оловянном стакане *расширяется также, как если бы состояла из олова*. Заметим, что этот факт часто иллюстрируют в школьном курсе физики, демонстрируя, как расширяется отверстие в металлическом кольце, если последнее нагреть.

Итак, при температуре  $t_0 + \Delta t$  оловянный стакан вмещает объем  $V_0(1 + \alpha_O \Delta t)$ . Но почему равна масса воды такого объема при этой же температуре? Для этого надо выяснить, как меняется с температурой плотность воды.

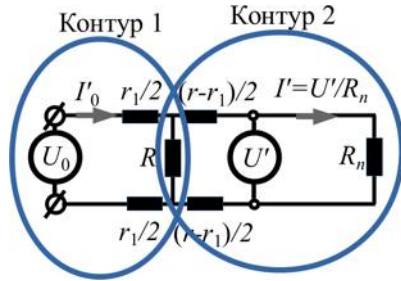


Рис. 11:

Если при  $t_0$  вода имела плотность  $\rho_0$ , некоторый объём  $V'$  и массу  $\rho_0 V'$ , то после нагревания до температуры  $t_0 + \Delta t$  она будет иметь другую плотность  $\rho'$  и объем  $V'(1 + \alpha_B \Delta t)$ , но масса ее от нагревания не изменится:

$$\rho_0 V' = \rho' V'(1 + \alpha_B \Delta t) \quad \Rightarrow \quad \rho' = \frac{\rho_0 V'}{V'(1 + \alpha_B \Delta t)} = \frac{\rho_0}{1 + \alpha_B \Delta t}.$$

Значит, вода в стакане объёма  $V_0(1 + \alpha_O \Delta t)$  при температуре  $t_0 + \Delta t$  будет иметь массу

$$m = \rho' V_0(1 + \alpha_O \Delta t) = \frac{\rho_0 V_0(1 + \alpha_O \Delta t)}{1 + \alpha_B \Delta t}.$$

В результате установления теплового равновесия оловянный материал стакана остыл на  $\Delta t - (t_0 + \Delta t)$ , а вода нагрелась на  $\Delta t$ . Это позволяет записать условие теплового баланса для нашей задачи:

$$C_0(t - t_0 - \Delta t) = cm\Delta t \quad \Rightarrow \quad C_0(t - t_0 - \Delta t) = \frac{c\rho_0 V_0(1 + \alpha_O \Delta t)\Delta t}{1 + \alpha_B \Delta t}.$$

Преобразуем:  $(1 + \alpha_B \Delta t)(t - t_0 - \Delta t) = \frac{c\rho_0 V_0}{C_0}(1 + \alpha_O \Delta t)\Delta t \quad \Rightarrow$

$$t - t_0 - \Delta t + \alpha_B \Delta t(t - t_0) - \alpha_B \Delta t^2 = z\Delta t + \alpha_O z\Delta t^2, \quad z \equiv \frac{c\rho_0 V_0}{C_0}.$$

Это квадратное уравнение на  $\Delta t$ :  $(\alpha_B + z\alpha_O)\Delta t^2 + \Delta t(1 + z - \alpha_B(t - t_0)) - (t - t_0) = 0$

$$\Rightarrow \Delta t = \frac{-(1 + z - \alpha_B(t - t_0)) \pm \sqrt{(1 + z - \alpha_B(t - t_0))^2 + 4(\alpha_B + z\alpha_O)(t - t_0)}}{2(\alpha_B + z\alpha_O)}.$$

Очевидно, нас интересует положительный корень, так как по условию  $\Delta t > 0$ .

Ответ: в стакане установится температура

$$t_0 + \frac{\sqrt{(1 + z - \alpha_B(t - t_0))^2 + 4(\alpha_B + z\alpha_O)(t - t_0)} - (1 + z - \alpha_B(t - t_0))}{2(\alpha_B + z\alpha_O)}, \quad z \equiv \frac{c\rho_0 V_0}{C_0}.$$

#### Задача 4. II вариант.

Так как трением о лёд можно пренебречь, при перепрыгивании акробата выполняется закон сохранения импульса (ЗСИ) в проекции на горизонтальные оси.

Рассмотрим сначала ЗСИ в проекции на ось  $x$  (см. рис. 12). До прыжка импульс в проекции на эту ось был нулевым, так как акробат вместе с диском ехал перпендикулярно оси  $x$ . После прыжка диск  $3m$  приобрел проекцию скорости  $-u' \sin \alpha$ , а скреплённые диски с акробатом – некоторую скорость  $V_x$ . Здесь важно понимать, что стержень, параллельный оси  $x$ , практически мгновенно уравнивает скорости скрепленных дисков в проекции на эту ось, поэтому скорость  $V_x$  будут иметь сразу после приземления акробата и сам акробат, и оба скреплённых стержнем диска. Итак, ЗСИ имеет вид

$$x : \quad 0 = 3mV_x - 3mu' \sin \alpha \quad \Rightarrow \quad V_x = u' \sin \alpha.$$

Ситуация в проекции на ось  $y$  чуть сложнее. Начальный импульс системы до прыжка был равен  $4mi$ , им обладал акробат  $m$  на диске массой  $3m$ . Сразу после прыжка этот диск приобрел  $y$ -проекцию импульса, равную  $-3mi' \cos \alpha$ . Акробат уравнял свою скорость с диском, на котором стоит (за счет силы трения между ногами и диском), но  $y$ -компоненты скорости скреплённых дисков при этом **вовсе не выравниваются**. Действительно, нет силы, которая уравняла бы эти  $y$ -компоненты, ведь стержень легкий и ориентирован в этот момент вдоль оси  $x$ , и только вдоль этой оси может действовать на диски.

Поэтому сразу после прыжка только акробат вместе со своим диском имеет некоторую  $y$ -компоненту скорости  $V_y$ , а скорость диска на втором конце стержня будет иметь лишь  $x$ -компоненту. ЗСИ в проекции на ось  $y$  будет иметь вид

$$y: \quad 4mu = 2mV_y - 3mu' \cos \alpha \quad \Rightarrow \quad V_y = \frac{4u + 3u' \cos \alpha}{2}.$$

Итак, после приземления акробата он вместе с конструкцией начинает движение со скоростью  $V_x$ , при этом он вместе со своим диском обладает ещё и скоростью  $V_y$ , которой нет у диска на противоположном конце стержня. Как же будет при этом двигаться конструкция дальше? Вообще говоря, траектория дисков будет достаточно сложной и криволинейной. К счастью, рассмотрев положение центра масс системы, с ней всё-таки можно разобраться.

Центр масс системы скрепленных дисков и акробата расположен в точке О (рис. 12). Так как на систему не действуют внешние силы, этот центр масс будет равномерно двигаться с постоянной скоростью. Диски же будут вращаться вокруг этого центра масс. Поэтому, перейдя в систему отсчёта центра масс, мы увидим, что траектории дисков в этой системе – окружности.

Центр масс системы движется с постоянной скоростью: её проекция на ось  $x$  равна  $V_x$ . Скорость центра масс в проекции на ось  $y$  равна отношению  $y$ -проекции импульса конструкции  $2mV_y$  к массе  $3m$  конструкции, т.е.  $2V_y/3$ .

Изобразим скорости дисков в исходной системе отсчёта и перейдём в систему отсчёта центра масс (см. рис. 13). Для перехода в другую систему отсчёта, как всегда, *ко всем скоростям следует добавить один и тот же вектор скорости*. В нашем случае добавляем такой вектор, чтобы центр масс в результате перехода к новой системе отсчёта остановился.

Диски будут вращаться вокруг точки О, и стержень будет снова ориентирован параллельно оси  $x$ , когда каждый диск пройдёт полокружности, окружность, полторы окружности и т.д... Пусть диски совершили полуцелое число оборотов, то есть повернулись на угол  $\pi + 2\pi n$  ( $n$  – произвольное целое число). Это произойдет через время

$$t = \frac{\pi(1+2n)L}{V_y} = \frac{2\pi(1+2n)L}{4u + 3u' \cos \alpha}.$$

это время акробат, во-первых, переместится вдоль  $x$  на  $s_* = 2L/3$  за счёт кругового движения вокруг О; во-вторых, он переместится вдоль той же оси на  $V_x t$  вместе с центром масс; в третьих, он переместится вдоль оси  $y$  на  $2V_y t/3$  вместе с центром масс. Суммарно его перемещение составит

$$s_n = \sqrt{(s_* + V_x t)^2 + \left(\frac{2V_y t}{3}\right)^2} = \sqrt{\left(\frac{2L}{3} + u' \sin \alpha \frac{2\pi(1+2n)L}{4u + 3u' \cos \alpha}\right)^2 + \frac{4\pi^2(1+2n)^2 L^2}{9}}.$$

В последнем равенстве мы подставили найденные ранее  $V_x$ ,  $V_y$ ,  $s_*$  и  $t$ .

Ну а чтобы стержень повернулся на целое число оборотов,  $2\pi n$ , должно пройти время  $t' = 2\pi n L / V_y$ , а  $s_*$  будет равно нулю, все же остальные рассуждения прежними,

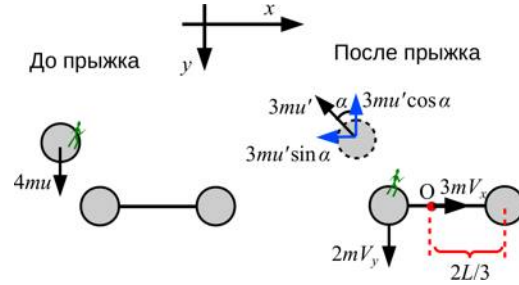


Рис. 12:

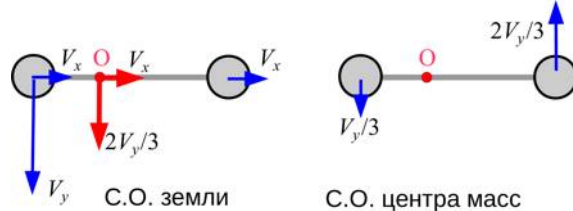


Рис. 13:

поэтому в этом случае суммарно перемещение акробата составит

$$s'_n = \sqrt{(s_* + V_x t')^2 + \left(\frac{2V_y t'}{3}\right)^2} = \sqrt{\left(u' \sin \alpha \frac{4\pi n L}{4u + 3u' \cos \alpha}\right)^2 + \frac{16\pi^2 n^2 L^2}{9}}.$$

**Ответ:** Стержень много раз будет оказываться параллелен своему первоначальному положению. В эти моменты перемещение акробата составит  $s_n$  и  $s'_n$ , где

$$s_n = L \sqrt{\left(\frac{2}{3} + \frac{2\pi(1+2n)u' \sin \alpha}{4u + 3u' \cos \alpha}\right)^2 + \frac{4(1+2n)^2 \pi^2}{9}}, \quad s'_n = L \sqrt{\left(\frac{4\pi n u' \sin \alpha}{4u + 3u' \cos \alpha}\right)^2 + \frac{16\pi^2 n^2}{9}},$$

$n$  – произвольное целое число. Когда такое произойдет в первый раз, перемещение акробата составит  $s_{n=0}$ .

### Задача 5. II вариант.

Если доска, погружаясь в жидкость, остаётся вертикальной, то изображение лампочки всегда имеет  $y$ -координату, равную нулю. Действительно, чтобы построить изображение лампочки  $L$ , нужно опустить перпендикуляр ЛО от предмета  $L$  на плоскость зеркала и расположить на продолжении ЛО изображение  $L'$  – за зеркалом – так, чтобы  $LO=L'O$ . Таким образом, в этом случае график выглядит как на рис. 14.

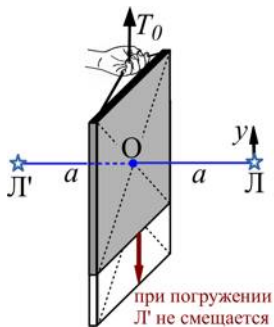


Рис. 14:

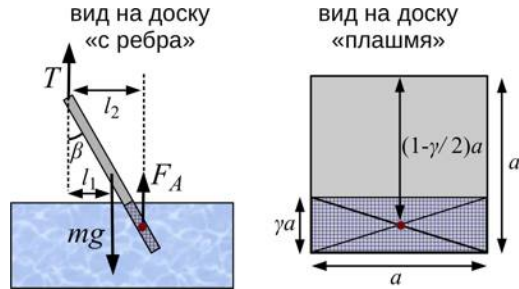
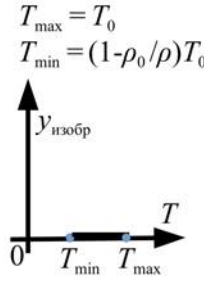


Рис. 15:

Интуитивно понятно, что достаточно тяжёлая доска (которая тонет в жидкости) будет погружаться вертикально. Но всегда ли так будет? Предположим, что возможно положение равновесия, представленное на рис. 15, когда доска висит, образуя угол  $\beta$  с вертикалью. Обозначим через  $d$  толщину доски, а через  $\gamma$  – долю длины доски, погружённую в жидкость (так, что на рис. 15 в жидкости находится площадь доски  $\gamma a \cdot a$  и объём  $\gamma a^2 d$ ). Заметим, что  $T_0$  численно равно  $mg$  – силе тяжести доски. Тогда  $T_0$  и силу Архимеда погруженной части доски можно связать с геометрическими размерами и плотностями:

$$mg = T_0 = \rho g a^2 d, \quad F_A = \rho_0 g \gamma a^2 d, \quad \Rightarrow F_A = \frac{\gamma \rho_0 T_0}{\rho}. \quad (8)$$

Если наклонное положение равновесия для доски существует, в нём выполняются два условия: сумма сил, действующих на доску равна нулю  $mg = T + F_A$ , а также правило рычага. Правило рычага можно записать, например, относительно точки подвеса,  $mg l_1 = F_A l_2$ . При этом нужно учесть, что плечо силы  $mg$  равно  $l_1 = (a/2) \sin \beta$ , а плечо силы  $F_A$  равно  $l_2 = a(1 - \gamma/2) \sin \beta$  (см. рис. 15). Эти два условия несложно записать в виде системы

$$\text{Баланс сил: } mg = T + F_A \quad \text{Баланс моментов сил: } T_0 \frac{a \sin \beta}{2} = F_A a \left(1 - \frac{\gamma}{2}\right) \sin \beta.$$

Производя сокращение на  $a \sin \beta$  в последнем равенстве и подставляя (8), получим

$$\text{Баланс сил: } T_0 = T + \frac{\gamma \rho_0 T_0}{\rho} \quad \text{Баланс моментов сил: } \frac{T_0}{2} = \frac{\gamma \rho_0 T_0}{\rho} \left(1 - \frac{\gamma}{2}\right).$$

Из баланса сил можно найти  $T = T_0(1 - \gamma \rho_0 / \rho)$ . Из баланса моментов найдём  $\gamma$ , решая квадратное уравнение:

$$\frac{1}{2} = \frac{\gamma \rho_0}{\rho} \left(1 - \frac{\gamma}{2}\right) \Rightarrow \frac{\rho}{\rho_0} = \gamma(2 - \gamma) \Rightarrow \gamma^2 - 2\gamma + \frac{\rho}{\rho_0} = 0. \Rightarrow \gamma = 1 \pm \sqrt{1 - \frac{\rho}{\rho_0}}.$$

Теперь мы видим, что такое решение существует (выражение под корнем не отрицательно) только в случае, если  $\rho < \rho_0$ , т.е. если доска может плавать в жидкости. Поскольку  $\gamma$  – доля погруженной части доски, должно выполняться неравенство  $0 \leq \gamma \leq 1$ . Поэтому физический корень – только с минусом перед корнем,  $\gamma = \gamma_{kp} = 1 - \sqrt{1 - \rho/\rho_0}$ . Обратите внимание,  $\gamma_{kp}$  фиксировано при заданных плотностях доски и жидкости.

Итак, если  $\rho < \rho_0$ , при вертикальном опускании точки подвеса происходит следующее. Сначала, пока доля погруженной части доски меньше  $\gamma_{kp}$ , доска висит вертикально. Изображение  $L'$  при этом неподвижно. Затем мы продолжаем опускать точку подвеса вниз, но  $\gamma$  перестает меняться, а вместе с ним и сила Архимеда, и сила натяжения  $T$  (см. рис. 16). Изображение при этом постепенно смещается. Чем ниже опускается точка подвеса, тем сильнее отклоняется доска, «стараясь» сохранить объём погруженной части. В некоторый момент договоренность о том, что толщиной доски можно пренебречь, становится неверной — когда  $\beta$  начинает отличаться от  $\pi/2$  так мало, что погруженную часть нельзя считать параллелепипедом. С этого момента величина  $T$  начнёт уменьшаться, и в конце концов достигнет нуля; доска станет свободно плавать.

Получается, что положение  $L'$  меняется только пока доска поворачивается и меняется угол  $\beta$ . При этом постоянна величина  $\gamma = \gamma_{kp}$  и не меняется сила  $T = T_{kp} = T_0(1 - \gamma_{kp}\rho_0/\rho)$ . Когда доска уже практически горизонтальна (при  $\beta \simeq \pi/2$ )  $T$  снова начнет меняться, но  $y$ -координата  $L'$  остается равной  $-a$ . Поэтому требуемый график представлен на рис. 16 справа.

Заметим, что доска могла отклоняться от вертикали и в другую сторону. Однако, это влияет на положение изображения лишь при  $T = T_{kp}$ . Поэтому и в этом случае график остается ступенькой, представленной на рис. 16.

Ответ: при  $\rho \geq \rho_0$   $y$ -координата изображения не меняется и равна нулю, график представлен на рис. 14. При  $\rho < \rho_0$  график представлен на рис. 16, он имеет вид ступеньки. Значению  $T_{kp}$  соответствует целый набор значений координаты изображения,

$$T_{kp} = T_0(1 - \gamma_{kp}\rho_0/\rho), \quad \text{где} \quad \gamma_{kp} = 1 - \sqrt{1 - \rho/\rho_0}.$$